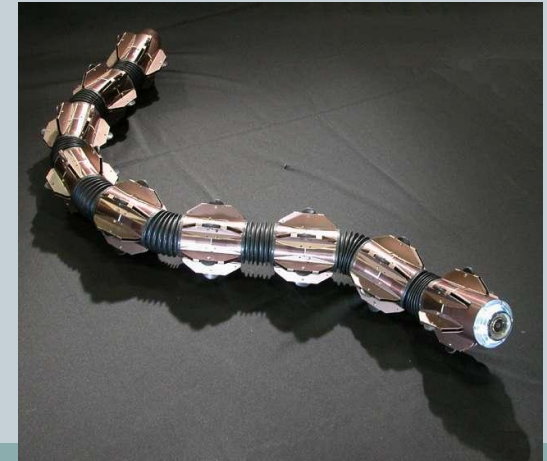


# Modélisation de différents modes de locomotion du serpent



TIPE MÉCANIQUE ET INFORMATIQUE  
PRATIQUE

OPTION SI  
N°:17732



# Plan

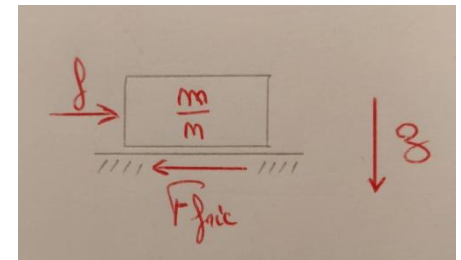
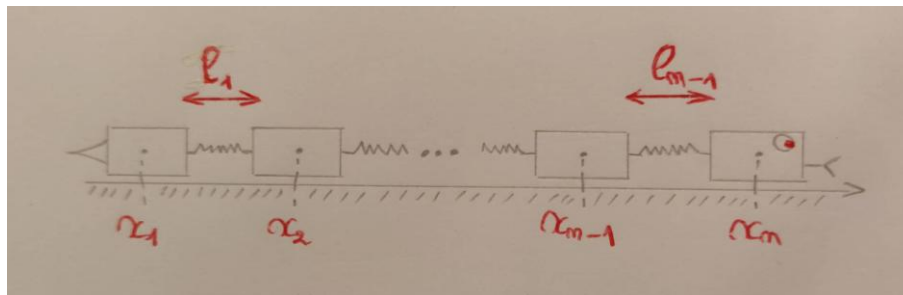
- Intérêt du développement d'un robot serpent et différents modes de locomotion.
- La locomotion rectiligne du serpent:
  - Modélisation unidimensionnelle.
  - Modélisation bidimensionnelle.

# Modes de locomotion et intérêts d' un tel robot

- Intérêt pratique:
  - Degrés de liberté et maniabilité
  - Grande économie en termes d'énergie
- Modes de locomotion:
  - Locomotion rectiligne
  - Locomotion en concertina
  - Ondulation latérale

# Modélisation de la locomotion rectiligne

- Hypothèses d'un tel modèle:
  - Justification d'un mouvement holonome.
  - Supposition d'un mouvement unidimensionnel.
  - Discrétisation du corps du serpent.



- Modélisation du mouvement:

- Utilisation d'un plan incliné:

- L'angle d'inclinaison est noté  $\theta$

- Définition du référentiel relatif:

$$x' = x - Vt$$

- Qui est parfaitement valide vu que la vitesse du serpent se stabilise en  $V$  très rapidement.

- Force de friction liée au nœud  $i$ :

$$F_i = -\mu_i F_N \operatorname{sgn}(\dot{x}_i)$$

- Equation adimensionnée qui caractérise le déplacement du centre d'inertie:

$$F_r \ddot{x} = \frac{\cos(\theta)}{n} \left[ -\mu_f \sum_{i=1}^n H(\dot{x}_i) + \mu_b \sum_{i=1}^n H(-\dot{x}_i) \right] - \sin(\theta)$$

avec:

- H: fonction de Heaviside:  $H(x) = 0.5 * (1 + \text{sgn}(x))$ .
- $\mu_b$  : coefficient de frottement arrière.
- $\mu_f$  : coefficient de frottement frontal.
- Fr: nombre de Froude
- $\theta$  : angle d'inclinaison du plan
- $F_N$ : force normale a plan
- $\mathcal{T}$  : temps caractéristique des oscillations
- g : constante gravitationnelle

$$F_r = \frac{\text{inertie}}{\text{gravite}} = \frac{L}{\tau^2 g}$$

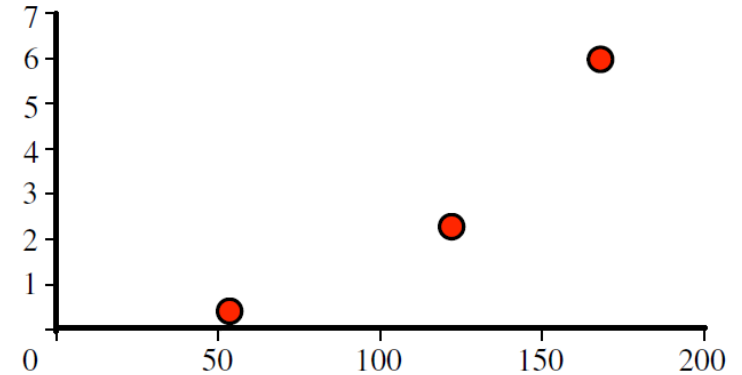
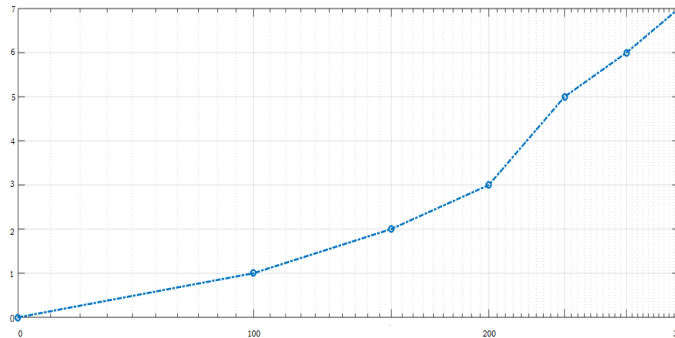
- $\mathcal{T}$  : temps caractéristique des oscillations
- $g$  : constante gravitationnelle

- Choix des coefficients de frottement:

species	$N$	$L$ (cm)	$m$ (kg)	$\mu_t$	$\mu_b$	$n$
Boa constrictor	3	$53.3 \pm 1.5$	$0.06 \pm 0.01$	$0.3 \pm 0.06$	$0.42 \pm 0.05$	$23 \pm 2$
Dumeril's boa	2	$175.5 \pm 10.6$	$5.7 \pm 1.1$	$0.017 \pm 0.002$	$0.06 \pm 0.01$	$25 \pm 1$
Gaboon viper	1	120	2.26	0.12	0.32	20

- Résolution de l'équation en utilisant la méthode de Dormand-Prince:

# Résultats expérimentaux et comparaison




$$V=f(L)$$

En bleu: les résultats théoriques

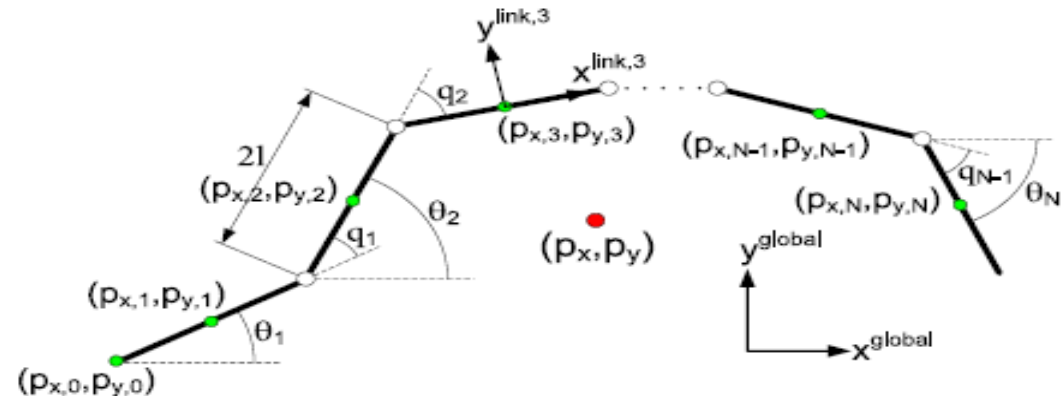
En rouge: les résultats expérimentaux



- 
- Lacunes du modèle unidimensionnel:
    - Lors du déplacement du serpent, la hausse par rapport au niveau du plan incliné est toujours présente, ainsi on se doit de considérer le déplacement par rapport à l'autre axe.
    - Des résultats expérimentaux estiment cet écart par rapport à l'écran d'environ 1mm.
    - D'où la nécessité de considérer le second axe

# Modélisation bidimensionnelle

- Supposition d'un mouvement bidimensionnel:
- Discrétisation du corps du serpent:
  - $\theta_i$  : angle que fait le nœud  $i$  avec l'axe
  - $q_i = \theta_{i+1} - \theta_i$  : différence angulaire
  - $(P_{x,i}, P_{y,i})$  coordonnées du point  $i$



- On trouve graphiquement que

$$\theta_i = \sum_{n=i}^{N-1} q_n + \theta_N$$

- Les coordonnées du joint i:

$$p_{x,i} = p_{x,0} + 2l \sum_{j=1}^{i-1} \cos \theta_j + l \cos \theta_i$$

$$p_{y,i} = p_{y,0} + 2l \sum_{j=1}^{i-1} \sin \theta_j + l \sin \theta_i$$

- Et par dérivation:

$$\dot{p}_{x,i} = \dot{p}_{x,0} - 2l \sum_{j=1}^{i-1} \sin \theta_j \dot{\theta}_j - l \sin \theta_i \dot{\theta}_i$$

$$\dot{p}_{y,i} = \dot{p}_{y,0} + 2l \sum_{j=1}^{i-1} \cos \theta_j \dot{\theta}_j + l \cos \theta_i \dot{\theta}_i$$

- En prenant le centre d'inertie comme moyenne:

$$(p_x, p_y) = \left( \frac{1}{N} \sum_{i=1}^N p_{x,i}, \frac{1}{N} \sum_{i=1}^N p_{y,i} \right)$$

- On procède au changement de référentiel pour simplifier:

$$p_{x,0} = p_x - \frac{1}{N} \sum_{i=1}^N \left( 2l \sum_{j=1}^{i-1} \cos \theta_j + l \cos \theta_i \right)$$

$$p_{y,0} = p_y - \frac{1}{N} \sum_{i=1}^N \left( 2l \sum_{j=1}^{i-1} \sin \theta_j + l \sin \theta_i \right)$$

- Approche lagrangienne:

- Calcul de  $E_c$  et  $E_p$ :

- $E_c = \frac{1}{2} m \sum_{i=1}^N (\dot{p}_{x,i}^2 + \dot{p}_{y,i}^2)$

- $E_p = \frac{1}{2} J \sum_{i=1}^N \dot{\theta}_i^2$

Le lagrangien s'écrit:

$$\mathcal{L}(q_a, \dot{x}) = \mathcal{K}(q_a, \dot{x}) = \frac{1}{2} m \sum_{i=1}^N (\dot{p}_{x,i}^2 + \dot{p}_{y,i}^2) + \frac{1}{2} J \sum_{i=1}^N \dot{\theta}_i^2$$

D'où l'équation d'Euler-Lagrange:

$$\frac{d}{dt} \left[ \frac{\partial \mathcal{L}(q_a, \dot{x})}{\partial \dot{x}_i} \right] - \frac{\partial \mathcal{L}(q_a, \dot{x})}{\partial x_i} = (B(x)\tau - \tau_f)_i$$

avec:

$B(x) = (e \text{ l..en})$

$\mathcal{T}$  matrice des f.a

$\tau_f$  matrice des forces de

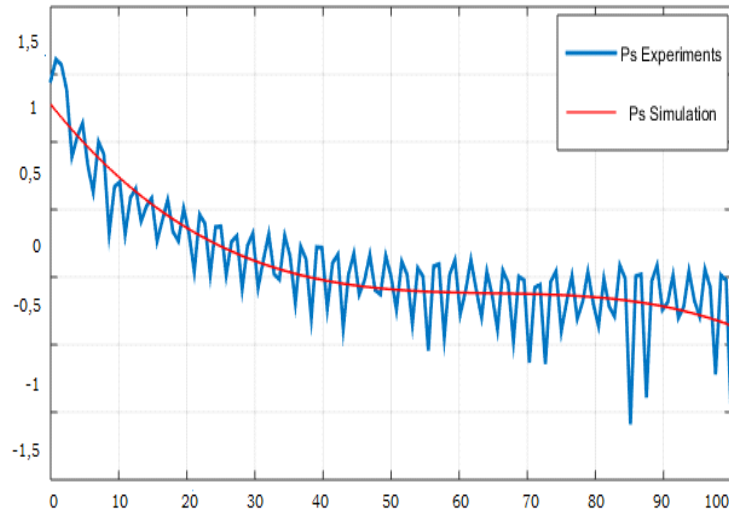
frottement visqueux et de Coulomb .

- On réécrit l'équation sous la forme d' une équation du second ordre:

$$M(q_a) \ddot{x} + C(x, \dot{x}) \dot{x} = B(x) \tau - \tau_f$$

En notant  $M(q_a)$  la matrice d'inertie et  $C(x, \dot{x})$  la matrice de la force d'inertie de coriolis

# Résultats



$$P_y = f(t)$$

# Conclusions

- Avantages des modèles:

- Le premier modèle étant simple, il donne une très bonne précision et est très proche de la réalité.
- Le second modèle, tout de suite plus compliqué donne une précision qui est bien pire mais qui reste dans les normes.

- Inconvénients des modèles:

- Le premier modèle néglige le déplacement sur l'axe des y qui s'avère être rudimentaire à la description du mouvement
- Le second compare les résultats avec ceux d'un robot serpent et non d'un serpent réel.